

Warszawa, dn. 2024-08-13

T-Mobile Polska S.A.
ul. Marynarska 12
02-674 Warszawa

Pełnomocnik:

Pełnomocnictwo numer: 166/01/21
z dnia: 2021-01-13

dane do korespondencji:

NetWorks Sp. z o.o.
ul. Józefa Piusa Dziekońskiego 3
00-728 Warszawa
tel. 518427631

Prezydent Miasta Łodzi
Urząd Miasta Łodzi
ul. Piłsudskiego 100
90-926 Łódź

Dotyczy: ustawowego obowiązku, wynikającego z art. 152 ust. 1 i ust. 7 w związku z ust. 6 pkt 1c ustawy z dnia 27 kwietnia 2001r – Prawo ochrony środowiska (Dz.U. 2024 poz. 54).

Działając z upoważnienia T-Mobile Polska S.A. z siedzibą ul. Marynarska 12, 02-674 Warszawa, **informuję o zmianie danych w zakresie wielkości i rodzaju emisji** dla instalacji radiokomunikacyjnej **29795 (90079N!) WLD_LODZ_RETKINSKA127** zlokalizowanej w miejscowości ŁÓDŹ, ul. RETKIŃSKA 127. W stosunku do informacji zawartej w zgłoszeniu realizowanym dla tej instalacji w trybie art. 152 ust. 1 i 5 ustawy z dnia 27 kwietnia 2001r – Prawo ochrony środowiska (Dz.U. 2024 poz. 54), dane ulegają zmianie w następujący sposób:

9. Wielkość i rodzaj emisji²⁾:

Pole elektromagnetyczne. EIRP poszczególnych anten zostało podane w pkt 12, tj.

| Lp. | Równoważna moc promieniowana izotropowo (EIRP) [W] |
|-----|--|
| 1. | 3411 |
| 2. | 57020 |
| 3. | 4201 |
| 4. | 57020 |
| 5. | 4201 |
| 6. | 57020 |

12. Szczegółowe dane, odpowiednio do rodzaju instalacji, zgodne z wymaganiami określonymi w załączniku nr 2 do Rozporządzenia:

| Lp. | 1) | 2) | 3) | 4) | 5) | |
|-----|----------------------------|---|--|--|------------|---|
| | Współrzędne geograficzne | Częstotliwość lub zakresy częstotliwości pracy instalacji [MHz] | Wysokość środka elektrycznego anteny [m n.p.t] | Równoważna moc promieniowana izotropowo (EIRP) [W] | Azymut [°] | Kąt pochylenia lub zakresy kątów pochylenia [°] |
| 1. | 19°24'14.7" 51°44'42.8" | 800/900/1800/ 2100 | 25.3 | 3411 | 50 | 5-7/5-7/ 5-7/5-7 |
| 2. | 19°24'14.7" 51°44'42.7" | 3600 | 25.3 | 57020 | 50 | 0 |
| 3. | 19°24'14.4" 51°44'42.3" | 800/900/1800/ 2100 | 25.3 | 4201 | 180 | 5-7/5-7/ 5-7/5-7 |
| 4. | 19°24'14.3" 51°44'42.3" | 3600 | 25.3 | 57020 | 180 | 0 |
| 5. | 19°24'13.9" 51°44'42.9" | 800/900/1800/ 2100 | 25.3 | 4201 | 330 | 5-7/5-7/ 5-7/5-7 |
| 6. | 19°24'13.9" 51°44'42.9" | 3600 | 25.3 | 57020 | 330 | 0 |

*) tolerancja azymutu od -10° do +10°.

Informuję, iż dokonane zmiany w zakresie wielkości i rodzaju emisji przedmiotowej instalacji nie powodują zmiany instalacji w sposób istotny zgodnie z art. 3 pkt 7 ustawy Poś.

W załączniku przesyłam:

1. Pełnomocnictwo
2. Kopia potwierdzenia wniesienia opłaty skarbowej.
3. Sprawozdanie z pomiarów pól elektromagnetycznych wykonanych dla celów ochrony środowiska.

Otrzymują:

1. a/a
2. adresat



Signed by /
Podpisano przez:

Date / Data:
2024-08-13 11:55



NetWorks Sp. z o.o.
Laboratorium Badań Środowiskowych
ul. Józefa Piusa Dziekońskiego 3
00-728 Warszawa
e-mail: Laboratorium@networks.pl



AB 419

S P R A W O Z D A N I E 6010/2024/OS
Z POMIARÓW PÓL ELEKTROMAGNETYCZNYCH
WYKONANYCH DLA POTRZEB OCHRONY ŚRODOWISKA

Badany obiekt: Instalacja radiokomunikacyjna T-Mobile Polska S.A.
Numer i nazwa: 29795 (90079N!) WLD_LODZ_RETKINSKA127
Adres: ŁÓDŹ, RETKIŃSKA 127, Powiat m. Łódź, WOJ. ŁÓDZKIE

Data wykonania pomiarów: 2024-08-07

Sprawozdanie z badań bez pisemnej zgody laboratorium nie może być powielane inaczej niż w całości.
Wynik przedstawione w niniejszym sprawozdaniu odnoszą się wyłącznie do badanego obiektu i do warunków i konfiguracji urządzeń w dniu wykonywania pomiarów.

1. Właściciel badanego obiektu:

T-Mobile Polska S.A., ul. Marynarska 12, 02-674 Warszawa

2. Zleceniodawca:

T-Mobile Polska S.A., ul. Marynarska 12, 02-674 Warszawa

3. Przedstawiciel zleceniodawcy:

NetWorks Sp. z o.o.

4. Zakres zlecenia:

Wykonanie badania i opracowanie sprawozdania z pomiarów natężenia pola elektrycznego i pola magnetycznego dla instalacji radiokomunikacyjnej T-Mobile Polska S.A. zlokalizowanej w miejscowości ŁÓDŹ, RETKIŃSKA 127.

5. Cel zlecenia:

Wykonanie pomiarów pól elektromagnetycznych w otoczeniu instalacji radiokomunikacyjnej 29795 (90079N!) WLD_LODZ_RETKINSKA127 w odniesieniu do wymagań określonych w *Rozporządzeniu Ministra Klimatu z dnia 17 lutego 2020 r. w sprawie sposobów sprawdzania dotrzymania dopuszczalnych poziomów pól elektromagnetycznych w środowisku (Dz.U. 2022 poz. 2630)*.

6. Pomiary zostały wykonane przez:

7. Informacje o źródłach pól elektromagnetycznych

7.1. Sposób identyfikacji badanych źródeł pól elektromagnetycznych

Identyfikacji źródeł i parametrów technicznych dokonano na podstawie analizy dokumentacji dotyczącej zlecenia oraz obserwacji miejsca wykonywania badań.

7.2. Opis miejsca zainstalowania anten i urządzeń technicznych. Opis obiektu badań i jego otoczenia

Instalacja radiokomunikacyjna zlokalizowana jest na kościele. Anteny zawieszono na masztach usytowanych na dachu budynku. Urządzenia sterujące oraz zasilające zainstalowano w pomieszczeniu w wieży kościelnej. Wokół instalacji znajdują się zabudowania wielorodzinne i jednorodzinne.

Instalacja radiokomunikacyjna jest obiektem bezobsługowym. Okresowe stanowiska pracy związane są z prowadzonymi w zależności od potrzeb konserwacjami, przeglądami, strojeniem i naprawami.

Sprawozdanie z badań bez pisemnej zgody laboratorium nie może być powielane inaczej niż w całości.
Wynik przedstawione w niniejszym sprawozdaniu odnoszą się wyłącznie do badanego obiektu i do warunków i konfiguracji urządzeń w dniu wykonywania pomiarów.

7.3. Parametry techniczne źródła pola elektromagnetycznego

Dane przedstawiające maksymalne parametry pracy instalacji przekazane przez zleceniodawcę:

Parametry systemu nadawczo-odbiorczego:

| Charakterystyka promieniowania | | kierunkowa | | | | | |
|---------------------------------|--|----------------------|--------------|------------|-----------------------------|--|--|
| Rzeczywisty czas pracy [h/dobę] | | 24 | | | | | |
| Warunki pracy | | znamionowe | | | | | |
| Rodzaj wytwarzanego pola | | stacjonarne | | | | | |
| Lp. | Częstotliwość lub zakresy częstotliwości pracy [MHz] | Typ/producent anteny | liczba anten | Azymut [°] | kąt pochylenia [°] | Wysokość środka elektrycznego anteny [m n.p.t] | Równoważna moc promieniowana izotropowo (EIRP) [W] |
| 1 | 800/900/1800/2100 | 80010715 Kathrein | 1 | 50 | 5-7**/5-7**/ 5-7**/5-7** | 25.3 | 3411 |
| 2 | 3600 | AAU5339W Huawei | 1 | 50 | 0* | 25.3 | 57020 |
| 3 | 800/900/1800/2100 | 80010715 Kathrein | 1 | 180 | 5-7**/5-7**/ 5-7**/5-7** | 25.3 | 4201 |
| 4 | 3600 | AAU5339W Huawei | 1 | 180 | 0* | 25.3 | 57020 |
| 5 | 800/900/1800/2100 | 80010715 Kathrein | 1 | 330 | 5-7**/5-7**/ 5-7**/5-7** | 25.3 | 4201 |
| 6 | 3600 | AAU5339W Huawei | 1 | 330 | 0* | 25.3 | 57020 |

* wskazane wartości kąta pochylenia anten, zgodnie z informacją uzyskaną od zleceniodawcy, są wartościami stałymi

** pomiary wykonano zgodnie z pkt 13., ppkt 2 załącznika do Rozporządzenia Ministra Klimatu z dnia 17 lutego 2020 r. (Dz. U. 2022, poz. 2630).

Transmisja realizowana drogą kablową

7.4 Inne źródła pól elektromagnetycznych

Na podstawie informacji otrzymanych od użytkownika oraz obserwacji otoczenia miejsca wykonywania pomiarów stwierdzono występowanie innych źródeł pola-EM, pracujących w systemie: telefonii komórkowej (800MHz-2600MHz), linii radiowych (5GHz – 90GHz), które istotnie wpływają na wyniki pomiarów.

8. Opis pomiarów

8.1. Metoda badań

Zgodna z rozporządzeniem Ministra Klimatu z dnia 17 lutego 2020 r. w sprawie sposobów sprawdzania dotrzymania dopuszczalnych poziomów pól elektromagnetycznych w środowisku (Dz.U. 2022 poz. 2630), określona w pkt 25 ppkt 1 załącznika do niniejszego rozporządzenia.

8.2. Termin pomiarów i warunki środowiskowe

Podczas wykonywania pomiarów pól elektromagnetycznych nie występowały opady atmosferyczne. Wyniki pomiaru parametrów pogodowych przedstawia poniższa tabela:

| Data [rrrr-mm-dd] | Godzina [hh:mm-hh:mm] | Warunki środowiskowe | | | |
|-------------------|-----------------------|----------------------|--------------|-------------------------|--------------|
| | | Temperatura [°C] | | Wilgotność względna [%] | |
| 2024-08-07 | 12:00-13:30 | Przed pomiarem | Po pomiarach | Przed pomiarem | Po pomiarach |
| | | 23.3 | 25.1 | 56.4 | 55.8 |

Przedstawione wyżej warunki środowiskowe, występujące podczas wykonywania pomiarów pól elektromagnetycznych, są zgodne ze specyfikacją techniczną użytego zestawu pomiarowego.

Sprawozdanie z badań bez pisemnej zgody laboratorium nie może być powielane inaczej niż w całości.
 Wynik przedstawione w niniejszym sprawozdaniu odnoszą się wyłącznie do badanego obiektu i do warunków i konfiguracji urządzeń w dniu wykonywania pomiarów.

8.3. Warunki pracy urządzeń nadawczych

Podczas pomiarów w przypadku uzyskania wyniku pomiaru szerokopasmowego wykonanego zastosowaną metodą, dla zakresów częstotliwości od 10 MHz do 300 GHz, powiększonego o rozszerzoną niepewność pomiaru U dla współczynnika rozszerzenia $k = 2$ przekraczającego 70% najniższej dopuszczalnej wartości składowej elektrycznej lub magnetycznej pola dla objętych pomiarami zakresów częstotliwości, uwzględnia się poprawki pomiarowe przekazane przez zleceniodawcę, umożliwiające uwzględnienie maksymalnych parametrów pracy instalacji zgodnie z pkt 7 załącznika do Rozporządzeniem Ministra Klimatu z dnia 17 lutego 2020 r. w sprawie sposobów sprawdzania dotrzymania dopuszczalnych poziomów pól elektromagnetycznych w środowisku (Dz. U. 2022, poz. 2630) zaznaczając, że wymagane jest wykonanie pomiaru z wykorzystaniem miernika selektywnego. W przypadku uzyskania wyniku pomiaru szerokopasmowego wykonanego zastosowaną metodą, dla zakresów częstotliwości od 10 MHz do 300 GHz, powiększonego o rozszerzoną niepewność pomiaru U dla współczynnika rozszerzenia $k = 2$ nieprzekraczającego 70% najniższej dopuszczalnej wartości składowej elektrycznej lub magnetycznej pola dla objętych pomiarami zakresów częstotliwości, nie uwzględnia się poprawek pomiarowych.

8.4. Wyposażenie pomiarowe

Zestaw pomiarowy służący do pomiaru natężenia składowej elektrycznej pola elektromagnetycznego złożony z szerokopasmowego miernika i sondy pomiarowej:

| Oznaczenie miernika | Producent | Model | Numer fabryczny | Oznaczenie sondy | Producent | Model | Numer fabryczny |
|---------------------|----------------------------|--|-----------------|------------------|----------------------------|--------------|-----------------|
| M-17 | Narda Safety Test Solution | Miernik pól elektromagnetycznych NBM-550 | H-0128 | S-17 | Narda Safety Test Solution | Sonda EF9091 | A-0056 |

Mierniki natężenia pola elektromagnetycznego podlegają okresowemu sprawdzeniu zgodnie z procedurą wewnętrzną P-03 i PB-01. Świadectwo wzorcowania zestawu pomiarowego z dnia 29 marca 2023 o numerze LWIMP/W/131/23 wydane przez Politechnika Wrocławską.

Data ważności świadectwa wzorcowania: 29 marca 2025 (zgodnie z procedurą wewnętrzną P-03).

Termohigrometr:

| | | | | | |
|-------------|-------|------------|--------------------|--------|-----------------------|
| Oznaczenie: | TH-06 | Producent: | AZ INSTRUMENT CORP | Model: | Termohigrometr AZ8706 |
|-------------|-------|------------|--------------------|--------|-----------------------|

Data ważności świadectwa wzorcowania: 3 stycznia 2025 (zgodnie z procedurą wewnętrzną P-03).

Dalmierz:

| Oznaczenie | Producent | Typ | Numer seryjny | Nr świadectwa wzorcowania | Data świadectwa wzorcowania |
|------------|-----------|---------------------------|---------------|---------------------------|-----------------------------|
| D-13 | Leica | Dalmierz Leica Disto D510 | 1051011710 | 4665.1-M11-4180-1748/15 | 27 listopada 2015 |

Data ważności świadectwa wzorcowania: 27 listopada 2025 (zgodnie z procedurą wewnętrzną P-03).

Odbiornik GNSS:

| Oznaczenie | Producent | Model | Numer fabryczny |
|------------|-----------|----------|-----------------|
| G-06 | Stonex | S7-G GIS | S7G4063010013 |

Odbiorniki podlegają okresowemu sprawdzeniu zgodnie z procedurą wewnętrzną P-03.

Sprawozdanie z badań bez pisemnej zgody laboratorium nie może być powielane inaczej niż w całości.
Wynik przedstawione w niniejszym sprawozdaniu odnoszą się wyłącznie do badanego obiektu i do warunków i konfiguracji urządzeń w dniu wykonywania pomiarów.

9. Wyniki pomiarów

Pole elektryczne

| Nr pionu | Opis umiejscowienia pionu (punktu) pomiarowego | Wysokość pomiaru [m] | Zmierzona wartość natężenia pola elektrycznego E [V/m] ^{1,5} | Wartość natężenia pola elektrycznego powiększona o niepewność pomiaru ⁴ E [V/m] | Wskaźnikowa wartość poziomu emisji pól elektromagnetycznych WME ³ | Współrzędne geograficzne pionu (punktu) pomiarowego ² |
|----------|--|----------------------|---|--|--|--|
| 1 | GKP w odległości 20m od anteny sektorowej az. 330° | 0.3-2.0 | <1.0* | 1.5 | 0.06 | 51°44'43.4" 19°24'13.3" |
| 2 | GKP w odległości 52m od anteny sektorowej az. 330° | 0.3-2.0 | <1.0* | 1.5 | 0.06 | 51°44'44.5" 19°24'12.6" |
| 3 | GKP w odległości 104m od anteny sektorowej az. 330° | 0.3-2.0 | <1.0* | 1.5 | 0.06 | 51°44'46.0" 19°24'11.2" |
| 4 | GKP w odległości 137m od anteny sektorowej az. 330° | 0.3-2.0 | <1.0* | 1.5 | 0.06 | 51°44'46.7" 19°24'10.4" |
| 5 | PKP na az. 345° w odległości 39m od anteny sektorowej az. 330° | 0.3-2.0 | <1.0* | 1.5 | 0.06 | 51°44'44.2" 19°24'13.3" |
| 6 | PKP na az. 0° w odległości 49m od anteny sektorowej az. 330° | 0.3-2.0 | <1.0* | 1.5 | 0.06 | 51°44'44.5" 19°24'13.7" |
| 7 | PKP na az. 16° w odległości 45m od anteny sektorowej az. 330° | 0.3-2.0 | <1.0* | 1.5 | 0.06 | 51°44'44.2" 19°24'14.4" |
| 8 | PKP na az. 315° w odległości 40m od anteny sektorowej az. 330° | 0.3-2.0 | <1.0* | 1.5 | 0.06 | 51°44'43.8" 19°24'12.2" |
| 9 | PKP na az. 300° w odległości 49m od anteny sektorowej az. 330° | 0.3-2.0 | <1.0* | 1.5 | 0.06 | 51°44'43.8" 19°24'11.5" |
| 10 | PKP na az. 284° w odległości 42m od anteny sektorowej az. 330° | 0.3-2.0 | <1.0* | 1.5 | 0.06 | 51°44'43.1" 19°24'11.9" |
| 11 | GKP w odległości 21m od anteny sektorowej az. 50° | 0.3-2.0 | <1.0* | 1.5 | 0.06 | 51°44'43.1" 19°24'15.5" |
| 12 | GKP w odległości 53m od anteny sektorowej az. 50° | 0.3-2.0 | <1.0* | 1.5 | 0.06 | 51°44'43.8" 19°24'16.9" |
| 13 | GKP w odległości 102m od anteny sektorowej az. 50° | 0.3-2.0 | <1.0* | 1.5 | 0.06 | 51°44'44.9" 19°24'18.7" |
| 14 | PKP na az. 65° w odległości 48m od anteny sektorowej az. 50° | 0.3-2.0 | <1.0* | 1.5 | 0.06 | 51°44'43.4" 19°24'16.9" |
| 15 | PKP na az. 80° w odległości 40m od anteny sektorowej az. 50° | 0.3-2.0 | <1.0* | 1.5 | 0.06 | 51°44'43.1" 19°24'16.9" |
| 16 | PKP na az. 96° w odległości 24m od anteny sektorowej az. 50° | 0.3-2.0 | <1.0* | 1.5 | 0.06 | 51°44'42.7" 19°24'15.8" |
| 17 | PKP na az. 35° w odległości 40m od anteny sektorowej az. 50° | 0.3-2.0 | <1.0* | 1.5 | 0.06 | 51°44'43.8" 19°24'15.8" |

Sprawozdanie z badań bez pisemnej zgody laboratorium nie może być powielane inaczej niż w całości.
 Wynik przedstawione w niniejszym sprawozdaniu odnoszą się wyłącznie do badanego obiektu i do warunków i konfiguracji urządzeń w dniu wykonywania pomiarów.

| | | | | | | |
|----|--|---------|-------|-----|------|----------------------------|
| 18 | PKP na az. 20° w odległości 50m od anteny sektorowej az. 50° | 0.3-2.0 | <1.0* | 1.5 | 0.06 | 51°44'44.2" 19°24'15.5" |
| 19 | PKP na az. 4° w odległości 44m od anteny sektorowej az. 50° | 0.3-2.0 | <1.0* | 1.5 | 0.06 | 51°44'44.2" 19°24'14.8" |
| 20 | GKP w odległości 153m od anteny sektorowej az. 50° | 0.3-2.0 | <1.0* | 1.5 | 0.06 | 51°44'46.0" 19°24'20.9" |
| 21 | GKP w odległości 17m od anteny sektorowej az. 180° | 0.3-2.0 | <1.0* | 1.5 | 0.06 | 51°44'41.6" 19°24'14.4" |
| 22 | GKP w odległości 74m od anteny sektorowej az. 180° | 0.3-2.0 | <1.0* | 1.5 | 0.06 | 51°44'39.8" 19°24'14.4" |
| 23 | GKP w odległości 103m od anteny sektorowej az. 180° | 0.3-2.0 | <1.0* | 1.5 | 0.06 | 51°44'39.1" 19°24'14.4" |
| 24 | PKP na az. 165° w odległości 31m od anteny sektorowej az. 180° | 0.3-2.0 | <1.0* | 1.5 | 0.06 | 51°44'41.3" 19°24'14.8" |
| 25 | PKP na az. 149° w odległości 37m od anteny sektorowej az. 180° | 0.3-2.0 | <1.0* | 1.5 | 0.06 | 51°44'41.3" 19°24'15.1" |
| 26 | PKP na az. 134° w odległości 44m od anteny sektorowej az. 180° | 0.3-2.0 | <1.0* | 1.5 | 0.06 | 51°44'41.3" 19°24'15.8" |
| 27 | PKP na az. 195° w odległości 26m od anteny sektorowej az. 180° | 0.3-2.0 | <1.0* | 1.5 | 0.06 | 51°44'41.6" 19°24'14.0" |
| 28 | PKP na az. 210° w odległości 48m od anteny sektorowej az. 180° | 0.3-2.0 | <1.0* | 1.5 | 0.06 | 51°44'40.9" 19°24'13.0" |
| 29 | PKP na az. 226° w odległości 37m od anteny sektorowej az. 180° | 0.3-2.0 | <1.0* | 1.5 | 0.06 | 51°44'41.6" 19°24'13.0" |
| 30 | GKP w odległości 147m od anteny sektorowej az. 180° | 0.3-2.0 | <1.0* | 1.5 | 0.06 | 51°44'37.7" 19°24'14.4" |
| 31 | PKP - przed wejściem do budynku | 0.3-2.0 | <1.0* | 1.5 | 0.06 | 51°44'42.4" 19°24'15.8" |
| 32 | PKP - przed wejściem do budynku | 0.3-2.0 | <1.0* | 1.5 | 0.06 | 51°44'42.0" 19°24'15.8" |
| 33 | PKP na az. 236° w odległości 54m od anteny sektorowej az. 330° | 0.3-2.0 | <1.0* | 1.5 | 0.06 | 51°44'42.0" 19°24'11.5" |

Sprawozdanie z badań bez pisemnej zgody laboratorium nie może być powielane inaczej niż w całości.
 Wynik przedstawione w niniejszym sprawozdaniu odnoszą się wyłącznie do badanego obiektu i do warunków i konfiguracji urządzeń w dniu wykonywania pomiarów.

Pole magnetyczne (wyznaczone na podstawie pomiaru wartości natężenia pola elektrycznego)

| Nr pionu | Opis umiejscowienia pionu (punktu pomiarowego) | Wysokość pomiaru [m] | Wartość natężenia pola magnetycznego H [A/m] ¹ | Wartość natężenia pola magnetycznego powiększona o niepewność pomiaru ⁴ H [A/m] | Wskaźnikowa wartość poziomu emisji pól elektromagnetycznych WM _H ³ | Współrzędne geograficzne pionu (punktu pomiarowego) ² |
|----------|--|----------------------|---|--|--|--|
| 1 | GKP w odległości 20m od anteny sektorowej az. 330° | 0.3-2.0 | <0.003* | 0.004 | 0.06 | 51°44'43.4" 19°24'13.3" |
| 2 | GKP w odległości 52m od anteny sektorowej az. 330° | 0.3-2.0 | <0.003* | 0.004 | 0.06 | 51°44'44.5" 19°24'12.6" |
| 3 | GKP w odległości 104m od anteny sektorowej az. 330° | 0.3-2.0 | <0.003* | 0.004 | 0.06 | 51°44'46.0" 19°24'11.2" |
| 4 | GKP w odległości 137m od anteny sektorowej az. 330° | 0.3-2.0 | <0.003* | 0.004 | 0.06 | 51°44'46.7" 19°24'10.4" |
| 5 | PKP na az. 345° w odległości 39m od anteny sektorowej az. 330° | 0.3-2.0 | <0.003* | 0.004 | 0.06 | 51°44'44.2" 19°24'13.3" |
| 6 | PKP na az. 0° w odległości 49m od anteny sektorowej az. 330° | 0.3-2.0 | <0.003* | 0.004 | 0.06 | 51°44'44.5" 19°24'13.7" |
| 7 | PKP na az. 16° w odległości 45m od anteny sektorowej az. 330° | 0.3-2.0 | <0.003* | 0.004 | 0.06 | 51°44'44.2" 19°24'14.4" |
| 8 | PKP na az. 315° w odległości 40m od anteny sektorowej az. 330° | 0.3-2.0 | <0.003* | 0.004 | 0.06 | 51°44'43.8" 19°24'12.2" |
| 9 | PKP na az. 300° w odległości 49m od anteny sektorowej az. 330° | 0.3-2.0 | <0.003* | 0.004 | 0.06 | 51°44'43.8" 19°24'11.5" |
| 10 | PKP na az. 284° w odległości 42m od anteny sektorowej az. 330° | 0.3-2.0 | <0.003* | 0.004 | 0.06 | 51°44'43.1" 19°24'11.9" |
| 11 | GKP w odległości 21m od anteny sektorowej az. 50° | 0.3-2.0 | <0.003* | 0.004 | 0.06 | 51°44'43.1" 19°24'15.5" |
| 12 | GKP w odległości 53m od anteny sektorowej az. 50° | 0.3-2.0 | <0.003* | 0.004 | 0.06 | 51°44'43.8" 19°24'16.9" |
| 13 | GKP w odległości 102m od anteny sektorowej az. 50° | 0.3-2.0 | <0.003* | 0.004 | 0.06 | 51°44'44.9" 19°24'18.7" |
| 14 | PKP na az. 65° w odległości 48m od anteny sektorowej az. 50° | 0.3-2.0 | <0.003* | 0.004 | 0.06 | 51°44'43.4" 19°24'16.9" |
| 15 | PKP na az. 80° w odległości 40m od anteny sektorowej az. 50° | 0.3-2.0 | <0.003* | 0.004 | 0.06 | 51°44'43.1" 19°24'16.9" |
| 16 | PKP na az. 96° w odległości 24m od anteny sektorowej az. 50° | 0.3-2.0 | <0.003* | 0.004 | 0.06 | 51°44'42.7" 19°24'15.8" |
| 17 | PKP na az. 35° w odległości 40m od anteny sektorowej az. 50° | 0.3-2.0 | <0.003* | 0.004 | 0.06 | 51°44'43.8" 19°24'15.8" |
| 18 | PKP na az. 20° w odległości 50m od anteny sektorowej az. 50° | 0.3-2.0 | <0.003* | 0.004 | 0.06 | 51°44'44.2" 19°24'15.5" |

Sprawozdanie z badań bez pisemnej zgody laboratorium nie może być powielane inaczej niż w całości.
 Wynik przedstawione w niniejszym sprawozdaniu odnoszą się wyłącznie do badanego obiektu i do warunków i konfiguracji urządzeń w dniu wykonywania pomiarów.

| | | | | | | |
|----|--|---------|---------|-------|------|----------------------------|
| 19 | PKP na az. 4° w odległości 44m od anteny sektorowej az. 50° | 0.3-2.0 | <0.003* | 0.004 | 0.06 | 51°44'44.2" 19°24'14.8" |
| 20 | GKP w odległości 153m od anteny sektorowej az. 50° | 0.3-2.0 | <0.003* | 0.004 | 0.06 | 51°44'46.0" 19°24'20.9" |
| 21 | GKP w odległości 17m od anteny sektorowej az. 180° | 0.3-2.0 | <0.003* | 0.004 | 0.06 | 51°44'41.6" 19°24'14.4" |
| 22 | GKP w odległości 74m od anteny sektorowej az. 180° | 0.3-2.0 | <0.003* | 0.004 | 0.06 | 51°44'39.8" 19°24'14.4" |
| 23 | GKP w odległości 103m od anteny sektorowej az. 180° | 0.3-2.0 | <0.003* | 0.004 | 0.06 | 51°44'39.1" 19°24'14.4" |
| 24 | PKP na az. 165° w odległości 31m od anteny sektorowej az. 180° | 0.3-2.0 | <0.003* | 0.004 | 0.06 | 51°44'41.3" 19°24'14.8" |
| 25 | PKP na az. 149° w odległości 37m od anteny sektorowej az. 180° | 0.3-2.0 | <0.003* | 0.004 | 0.06 | 51°44'41.3" 19°24'15.1" |
| 26 | PKP na az. 134° w odległości 44m od anteny sektorowej az. 180° | 0.3-2.0 | <0.003* | 0.004 | 0.06 | 51°44'41.3" 19°24'15.8" |
| 27 | PKP na az. 195° w odległości 26m od anteny sektorowej az. 180° | 0.3-2.0 | <0.003* | 0.004 | 0.06 | 51°44'41.6" 19°24'14.0" |
| 28 | PKP na az. 210° w odległości 48m od anteny sektorowej az. 180° | 0.3-2.0 | <0.003* | 0.004 | 0.06 | 51°44'40.9" 19°24'13.0" |
| 29 | PKP na az. 226° w odległości 37m od anteny sektorowej az. 180° | 0.3-2.0 | <0.003* | 0.004 | 0.06 | 51°44'41.6" 19°24'13.0" |
| 30 | GKP w odległości 147m od anteny sektorowej az. 180° | 0.3-2.0 | <0.003* | 0.004 | 0.06 | 51°44'37.7" 19°24'14.4" |
| 31 | PKP - przed wejściem do budynku | 0.3-2.0 | <0.003* | 0.004 | 0.06 | 51°44'42.4" 19°24'15.8" |
| 32 | PKP - przed wejściem do budynku | 0.3-2.0 | <0.003* | 0.004 | 0.06 | 51°44'42.0" 19°24'15.8" |
| 33 | PKP na az. 236° w odległości 54m od anteny sektorowej az. 330° | 0.3-2.0 | <0.003* | 0.004 | 0.06 | 51°44'42.0" 19°24'11.5" |

GKP – Główny Kierunek Pomiarowy

PKP – Pomocniczy Kierunek Pomiarowy

¹ wyniki oznaczone * są wynikami poniżej czułości zestawu pomiarowego i są wynikami spoza zakresu akredytacji. Do obliczenia wyniku skorygowanego przyjęto wartość skorelowaną z rzeczywistym wynikiem pomiaru - dolną granicę akredytowanego zakresu pomiarowego metody

² współrzędne geograficzne pozyskane metodą pomiaru bezpośredniego

³ do wyznaczenia wartości wskaźnikowej W_{ME} i W_{MH} przyjęto na podstawie uzgodnień z klientem oraz rozpoznania źródeł, jako wartości dopuszczalne pola elektrycznego i magnetycznego odpowiednio 28 V/m i 0,073 A/m.

⁴ do wyznaczenia niepewności dla wyników poniżej czułości zestawu pomiarowego, przyjęto niepewność dla minimalnej wartości z zakresu pomiarowego.

⁵ maksymalna wartość chwilowa

Niepewność oszacowano zgodnie z dokumentem P-03 „Procedura nadzoru nad wyposażeniem” w postaci niepewności rozszerzonej wynikającej z niepewności standardowej pomnożonej przez współczynnik rozszerzenia $k=2$.

Całkowita szacowana niepewność rozszerzona składowej E wynosi odpowiednio: 54.6% dla częstotliwości do 60 GHz

Sprawozdanie z badań bez pisemnej zgody laboratorium nie może być powielane inaczej niż w całości.
 Wynik przedstawione w niniejszym sprawozdaniu odnoszą się wyłącznie do badanego obiektu i do warunków i konfiguracji urządzeń w dniu wykonywania pomiarów.

Pomiarów nie wykonano:

| Oznaczenie braku dostępu | Opis umiejscowienia |
|--------------------------|---|
| A | Instytut teologiczny pod adresem ul. Rekina 127, z powodu zamkniętego budynku |
| B | W kancelarii parafialnej pod adresem ul. Retkina 127, z powodu braku księdza |

Umiejscowienie pionów (punktów) pomiarowych przedstawiono w załączniku nr 2 do niniejszego sprawozdania.

10. Omówienie wyników pomiarów

W związku z tym, że żadna z wartości zmierzonych, udokumentowanych w tabelach w pkt. 9, uzyskanych w skutek zastosowania pomiaru szerokopasmowego, powiększonego o rozszerzoną niepewność pomiaru U dla współczynnika rozszerzenia $k = 2$ nie przekroczyła 70% najniższej dopuszczalnej wartości składowej elektrycznej lub magnetycznej pola dla objętych pomiarami zakresów częstotliwości, nie uwzględnia się poprawek pomiarowych.

W wyniku zastosowania sposobu sprawdzenia dotrzymania dopuszczalnych poziomów pól elektromagnetycznych w środowisku, zgodnie pkt 25 ppkt 1 Rozporządzenia Ministra Klimatu z dnia 17 lutego 2020 r. (Dz. U. 2022, poz. 2630), w związku z tym, że żadna z wartości wskaźnikowych, udokumentowanych w tabelach w pkt. 9 nie przekracza wartości 1, stwierdza się, że w miejscach, w których wykonano pomiary w otoczeniu instalacji radiokomunikacyjnej 29795 (90079N!) WLD_LODZ_RETKINSKA127, dopuszczalne poziomy pól elektromagnetycznych w środowisku należy uznać za dotrzymane.

Miejsca niedostępne podczas wykonywania pomiarów wskazane zostały w pkt. 9 (Wyniki pomiarów) lub na załączniku przedstawiającym usytuowanie pionów pomiarowych

Sprawozdanie z badań bez pisemnej zgody laboratorium nie może być powielane inaczej niż w całości.
Wynik przedstawione w niniejszym sprawozdaniu odnoszą się wyłącznie do badanego obiektu i do warunków i konfiguracji urządzeń w dniu wykonywania pomiarów.

11. Podstawa prawna

- 1) Ustawa z dnia 27 kwietnia 2001 r. Prawo ochrony środowiska (Dz.U. 2024 poz. 54)
- 2) Rozporządzenie Ministra Zdrowia z dnia 17 grudnia 2019 r. w sprawie dopuszczalnych poziomów pól elektromagnetycznych w środowisku (Dz. U. 2019, poz. 2448)
- 3) Rozporządzenie Ministra Klimatu z dnia 17 lutego 2020 r. w sprawie sposobów sprawdzania dotrzymania dopuszczalnych poziomów pól elektromagnetycznych w środowisku (Dz. U. 2022, poz. 2630),
- 4) Akredytacja nr AB 419 wydana przez Polskie Centrum Akredytacji (wydanie 22, z dnia 9 stycznia 2024 r.)

12. Spis załączników

- Załącznik 1. Lokalizacja obiektu badań
- Załącznik 2. Usytuowanie pionów (punktów) pomiarowych
- Załącznik 3. Dokumentacja fotograficzna obiektu badań

13. Data wydania i autoryzowania sprawozdania

Obliczenia i sprawozdanie wykonał :

Sprawozdanie autoryzował:



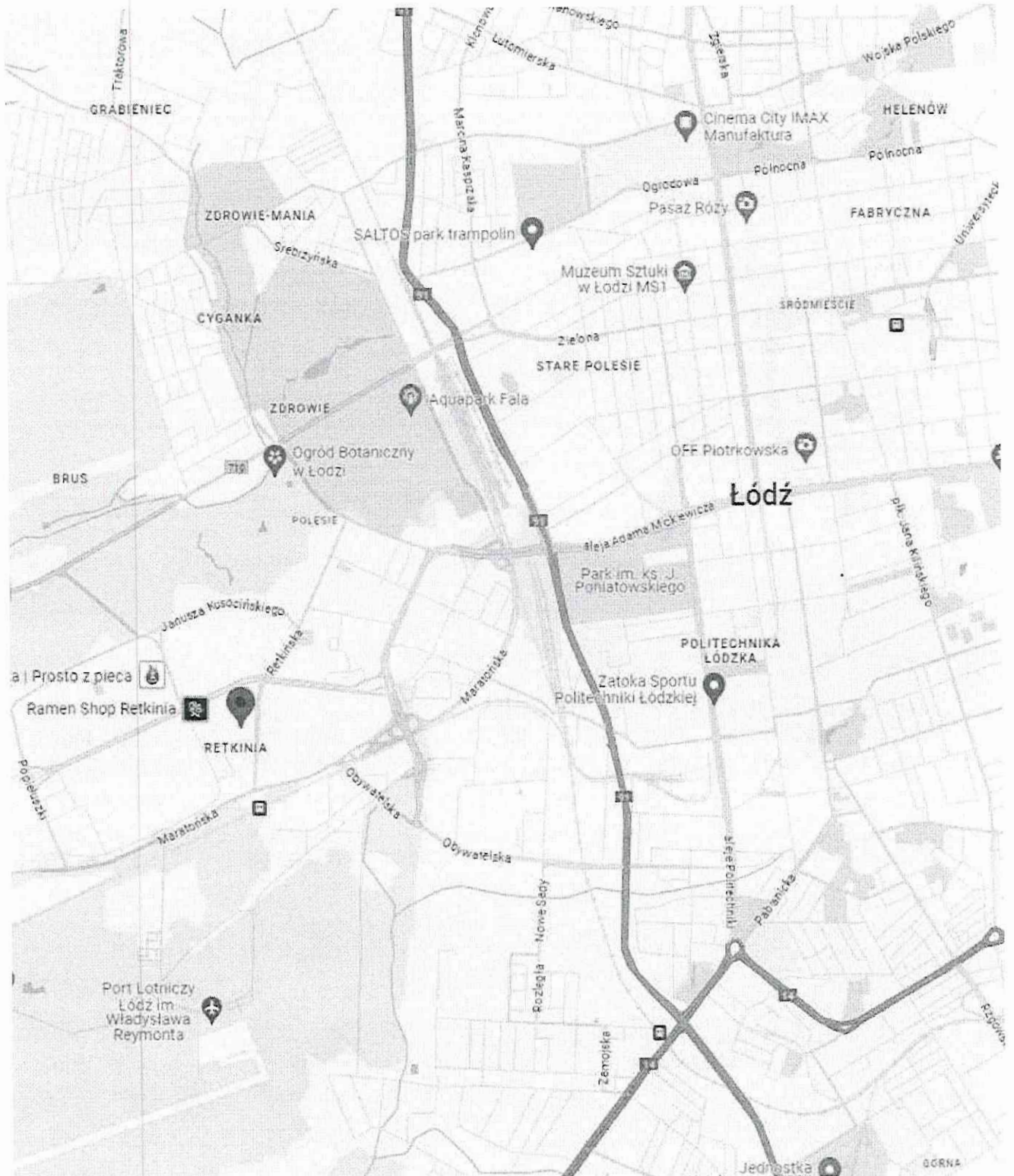
Signed by /
Podpisano przez:

Date / Data:
2024-08-09 14:56

Elektronicznie podpisany
przez
Data: 2024.08.09
10:21:55 +02'00'

Koniec sprawozdania

Sprawozdanie z badań bez pisemnej zgody laboratorium nie może być powielane inaczej niż w całości.
Wynik przedstawione w niniejszym sprawozdaniu odnoszą się wyłącznie do badanego obiektu i do warunków i konfiguracji urządzeń w dniu wykonywania pomiarów.



| | |
|----------------|---|
| Załącznik nr 1 | Instalacja radiokomunikacyjna T-Mobile Polska S.A. (90079N!) WLD_LODZ_RETKINSKA127 Lokalizacja instalacji |
|----------------|---|